
ЦИФРОВАЯ ОБРАБОТКА ИЗОБРАЖЕНИЙ

Д.т.н., проф. Е.Г. Жиляков, А.А. Барсук (НИУ «БелГУ»)

E.G. Zhilyakov, A.A. Barsuk

ПАРАЛЛЕЛЬНЫЙ МОДИФИЦИРОВАННЫЙ АЛГОРИТМ БОРУВКИ ДЛЯ GPU В ЗАДАЧЕ КЛАССИФИКАЦИИ ОБЪЕКТОВ НА КОСМОФОТОСНИМКАХ

THE PARALLEL MODIFIED BORUVKA'S ALGORITHM FOR GPU IN THE TASK OF OBJECTS CLASSIFICATION AT THE IMAGES OF THE EARTH SURFACE

В статье рассматривается подход к реализации параллельного модифицированного алгоритма Борувки в задаче классификации объектов на изображениях. Производится краткий обзор используемых в настоящее время алгоритмов, выдвигаются рекомендации по их модификации, формулируются требования к вычислительной системе. Проведены вычислительные эксперименты с GPU реализацией параллельного модифицированного алгоритма Борувки.

The approach to implementation of the parallel modified Boruvka's algorithm in the task of object classification at the images is considered in the report. A brief overview of currently used algorithms is produced, recommendations to their modifications are made, requirements for the computer system are formulated. The computer experiments with GPU realization of modified Boruvka's algorithm are made.

Ключевые слова классификация, алгоритмы, построение минимальных деревьев GPU, CUDA

Keywords classification minimal spanning tree, algorithms of building minimal spanning trees, GPU CUDA

В настоящее время большая часть информации о земной поверхности получается в результате обработки космофотоснимков, сделанных в различных спектральных диапазонах искусственными спутниками Земли. Под обработкой таких изображений понимается ряд процедур, позволяющих получить информацию об объектах, запечатленных на них, используемую для принятия соответствующих управленческих решений. Одной из таких процедур является классификация объектов на космофотоснимках земной поверхности, которая заключается в разбиении пикселей изображения на группы, соответствующие запечатленным на нем физическим объ-

ЦИФРОВАЯ ОБРАБОТКА ИЗОБРАЖЕНИЙ

ектам. Часто для решения этой задачи используются методы кластеризации.

Одним из подходов к решению задачи классификации (кластеризации) является подход, основанный на использовании теории графов. Кластеризацию можно рассматривать как задачу расчленения графа на части. По сути, каждый классифицируемый объект относится с вершиной взвешенного графа, где весовые коэффициенты ребер графа между элементами малы, если элементы подобны, и велики - в противном случае. Далее граф необходимо разрезать на связанные компоненты с относительно малыми внутренними весовыми коэффициентами (компоненты соответствуют кластерам), разрезая для этого ребра с относительно большими весовыми коэффициентами [4]. Отличительной особенностью результатов работы таких алгоритмов является то, что они выделяют классы с формами, сильно отличающимися от сферических, т.е. с вычурными формами или линейно неразделимыми.

Классифицируемые объекты представляют собой векторы в n -мерном признаковом пространстве с заданной на нем функцией расстояния. Они формируют множество вершин графа. Ребрами является подмножество множества соединений между всеми парами объектов, выбранное в соответствии с некоторым принципом. Одним из используемых принципов является условие минимальности суммы весов ребер в графе. Получаемый в результате использования такого подхода граф называется минимальным оствовым деревом, а задача нахождения такого графа – задачей построения (нахождения) минимального оствового дерева.

Смоделировать эту задачу можно при помощи связного неориентированного графа $G=(V,E)$, где V – множество вершин (точек), E – множество возможных соединений между парами вершин (ребер). Каждое ребро $(u,v) \in E$ обладает весом $w(u,v)$ определяющим расстояние между u и v . Задача поиска минимального оствового дерева сводится к нахождению ациклического подмножества

$$T \subseteq E,$$

которое соединяет все вершины и чей общий вес минимален [2]

$$w(T) = \sum_{(u,v) \in T} w(u,v) = \min$$

Существует три классических алгоритма для решения задачи поиска минимального оствового дерева алгоритм Прима, алго-

ЦИФРОВАЯ ОБРАБОТКА ИЗОБРАЖЕНИЙ

ритм Крускала, алгоритм Борувки.

Алгоритм Прима имеет очень простой вид. Искомый минимальный остов строится постепенно, путем добавления в него рёбер по одному. Изначально остов полагается состоящим из единственной вершины (её можно выбрать произвольно). Затем выбирается ребро минимального веса, исходящее из этой вершины, и добавляется в минимальный остов. После этого остов содержит уже две вершины и теперь ищется и добавляется ребро минимального веса, имеющее один конец в одной из двух выбранных вершин, а другой — наоборот, во всех остальных, кроме этих двух и т.д., т.е. всякий раз ищется минимальное по весу ребро, один конец которого — уже взятая в остов вершина, а другой — ещё не взятая, и это ребро добавляется в остов (если таких рёбер несколько, можно взять любое). Этот процесс повторяется до тех пор, пока остов не станет содержать все вершины. На рисунке (рис. 1) представлена схема работы алгоритма Прима, каждое пронумерованное изображение иллюстрирует строящееся дерево на некоторой итерации алгоритма. Предполагается, что между каждой парой вершин существует ребро.

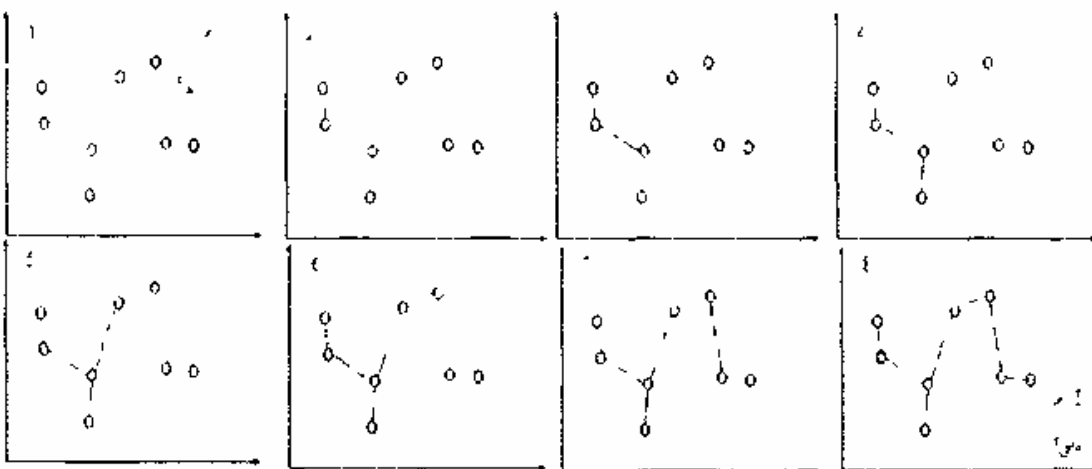


Рис. 1
Иллюстрация работы алгоритма Прима

Алгоритм Крускала изначально помещает каждую вершину в своё дерево, а затем постепенно объединяет эти деревья, объединяя на каждой итерации два ближайших дерева (соединенных ребром с наименьшим весом). Перед началом выполнения алгоритма, все рёбра сортируются по весу (в порядке возрастания). Затем начи-
66

ЦИФРОВАЯ ОБРАБОТКА ИЗОБРАЖЕНИЙ

нается процесс объединения: перебираются все рёбра от первого до последнего (в порядке сортировки) и, если у текущего ребра его концы принадлежат разным деревьям, то эти деревья объединяются, а ребро добавляется к ответу. По окончании перебора всех рёбер все вершины окажутся принадлежащими одному поддереву, и ответ найден [2] (рис. 2).

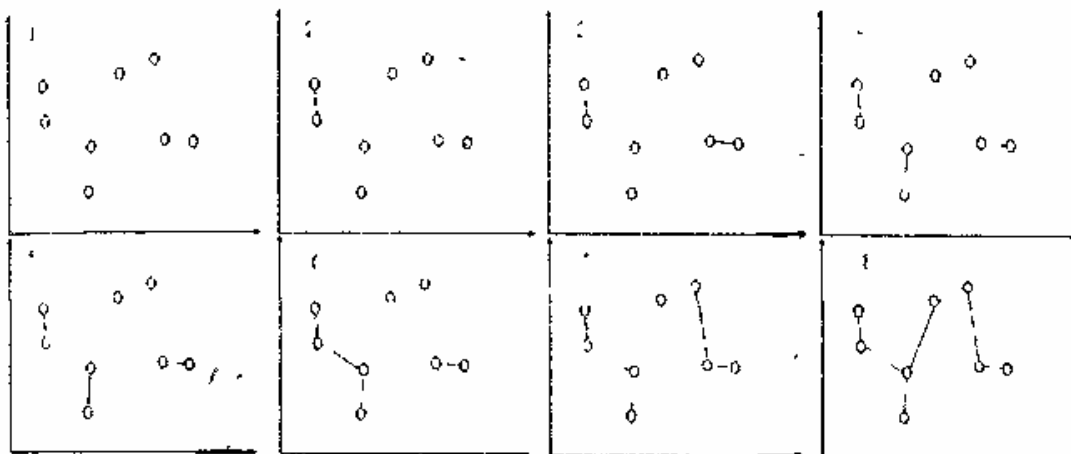


Рис. 2
Иллюстрация работы алгоритма Крускала

Алгоритм Борувки использует подход схожий, с используемым в алгоритме Крускала. На первом этапе каждая вершина помещается в отдельное дерево. На каждой итерации происходит объединение ближайших деревьев до тех пор, пока все объекты не будут принадлежать одному дереву. Отличительной особенностью является то, что на каждой итерации алгоритма количество деревьев сокращается минимум в два раза.

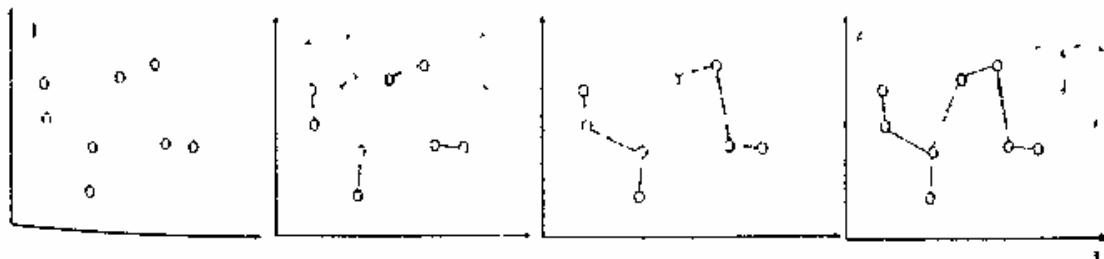


Рис. 3
Иллюстрация работы алгоритма Борувки

Отдельно следует рассмотреть процесс поиска ближайших деревьев для алгоритма Борувки. Пусть на некоторой итерации

ЦИФРОВАЯ ОБРАБОТКА ИЗОБРАЖЕНИЙ

нужно найти для заданного дерева ближайшее к нему Для этого необходимо для каждой компоненты исходного дерева найти ближайшую компоненту из другого дерева (рис 4, минимальное ребро выделено штриховкой)

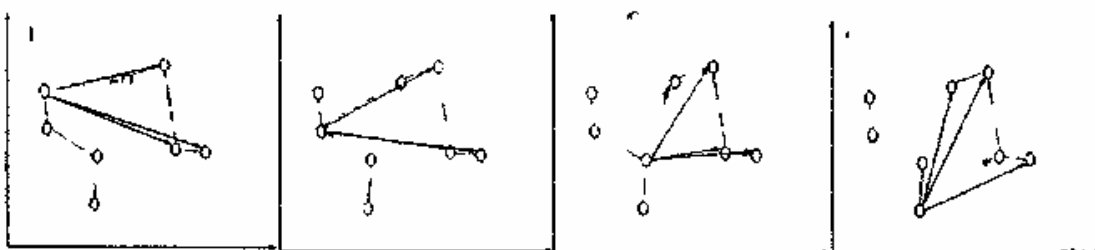


Рис 4
Иллюстрация поиска ближайшего объекта из другого дерева
в алгоритме Борувки

Далее из всех найденных элементов выбрать минимальный, который и станет ребром, объединяющим дерево (рис 5)

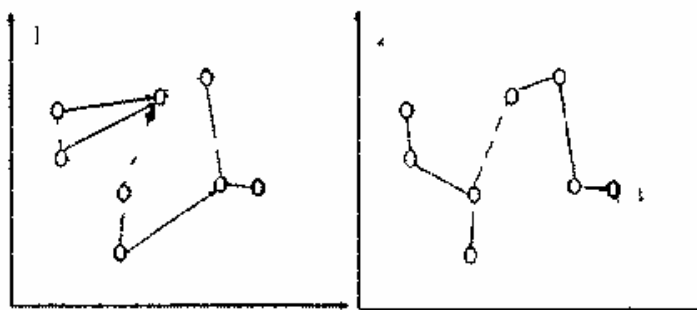


Рис 5
Иллюстрация поиска ближайшего дерева в алгоритме Борувки

В худшем случае время на операцию поиска ближайшего дерева будет пропорционально V^2 , но такой подход обладает очень высоким потенциальным параллелизмом Поиск ближайшего дерева для каждого элемента исходного дерева можно производить независимо, на отдельном вычислительном узле

Говоря о задаче классификации объектов на изображениях, и, в частности, на космоснимках земной поверхности [1], следует учитывать ряд особенностей В качестве классифицируемых объектов, т е вершин графа, выступают векторы пиксельных интенсивностей в цветовом пространстве RGB, где функцией расстояния является евклидова метрика Поэтому задача построения минималь-

ЦИФРОВАЯ ОБРАБОТКА ИЗОБРАЖЕНИЙ

ного оственного дерева сводится к задаче поиска евклидова дерева. Один из подходов к ее решению предусматривает построение полного графа с V вершинами, где V - количество объектов, и $V(V-1)/2$ ребрами - одно ребро соединяет каждую пару вершин, а вес этого ребра равен расстоянию между соответствующими точками. Затем на этом графе производится поиск минимального оственного дерева [3].

Процесс классификации объектов на изображении можно разделить на следующие этапы:

1 Каждый пиксель изображения представляет собой объект в трехмерном признаковом пространстве RGB. Совокупность всех различных векторов пиксельных интенсивностей, присутствующих на изображении, составляет множество классифицируемых объектов.

2 Строится минимальное евклидово дерево

3 Ребра дерева разрезаются, в результате чего множество объектов разбивается на непересекающиеся подмножества. Процесс разрезания контролируется в соответствии с поведением функционала качества разбиения [1].

Существенной проблемой при использовании этого метода является ограничение, накладываемое количеством обрабатываемых объектов. На изображении в формате RGB может присутствовать до 2^{24} (порядок 10^8) различных векторов интенсивностей. Процедура поиска минимального евклидова дерева предполагает решение задачи поиска минимального оственного дерева на полном графике, вершинами которого являются классифицируемые объекты, а ребрами - соединения между каждой парой из них. При решении задачи классификации объектов на изображениях количество вершин графа обычно имеет порядок 10^6 , а, следовательно, число ребер графа, на котором будет производится поиск минимального оственного дерева, составит приблизительно $10^{12}/2$. Даже при использовании типов данных одинарной точности, размером 4 байта, для хранения ребер потребуется примерно 1,8 Тб памяти, что невозможно. Если вместо хранения весов ребер производить их вычисление, то такой подход приводит к повышению асимптотической сложности алгоритмов. В качестве примера следует рассмотреть модифицированный под данную задачу алгоритм Крускала. Классический алгоритм Крускала включает в себя следующие шаги:

1. отсортировать все ребра по возрастанию,
2. начиная с наименьшего ребра добавлять в граф такие ребра, которые не создают цикла.

Сложность такого алгоритма определяется, в первую очередь, сложностью сортировки, т.е. при использовании хороших методов сортировки время работы алгоритма Крускала будет пропорционально $O(N \log N)$, где N -количество ребер графа.

Сортировка предполагает хранение весов ребер, что, как было сказано выше, невозможно. Можно переформулировать алгоритм Крускала следующим образом: на каждой итерации находить наименьшее ребро, не создающее цикла, и добавлять его в граф. Поиск такого ребра будет требовать времени пропорционально V^2 , таких ребер будет $(V-1)$. Таким образом асимптотическая вычислительная сложность алгоритма будет примерено $O(V^3)$. Кроме того, вычисление евклидовых расстояний между объектами предполагает использование достаточно медленной операции вычисления квадратного корня. В табл. 1 приведена зависимость времени построения евклидового дерева от количества объектов (V). В первой строке таблицы указано количество объектов, со второй по четвертую – время работы алгоритма для различных испытаний (I1,I2,I3) в секундах, в последней строке указано среднее время работы алгоритма (Avarage). Результаты всех экспериментов получены на процессоре Intel(R) Core(TM)2 Quad CPU Q6600 2.40GHz. Для вычислений использовалось одно ядро, оптимизация компилятором была выключена. Вычисления для каждого набора объектов производились трижды, время усреднялось.

Таблица 1

Зависимость времени работы модифицированного
алгоритма Крускала от количества объектов

N	10	100	500	1000	2000	3000
I1	0,00008	0,02928	3,63130	29,00961	232,26556	785,12453
I2	0,00008	0,02923	3,63906	29,04869	232,64933	783,74037
I3	0,00008	0,02923	3,63054	29,14089	232,18983	783,02213
Ava- rage	0,00008	0,02925	3,63364	29,06639	232,36824	783,96234

Как видно из табл. 1 данный алгоритм является чрезвычайно

ЦИФРОВАЯ ОБРАБОТКА ИЗОБРАЖЕНИЙ

сложным в вычислительном отношении и его использование при количестве объектов большем 500 становится затруднительным. Алгоритм Прима при данных условиях (невозможность хранения данных о ребрах) также будет иметь временную сложность пропорциональную V^3 .

Отдельно следует рассмотреть алгоритм Борувки. Его отличительной особенностью является то, что на каждой итерации алгоритма количество деревьев сокращается минимум в два раза, а его асимптотическая сложность имеет порядок $O(V^2 \log_2 V)$. Время работы алгоритма Борувки, модифицированного для решения задачи поиска минимального евклидова дерева приведено в табл. 2 (рис. 6).

Таблица 2
Зависимость времени работы модифицированного
алгоритма Борувки от количества объектов

N	500	1000	2000	3000	4000	5000	6000
I1	0,08	0,32	1,27	2,82	5,95	7,74	13,21
I2	0,08	0,32	1,26	2,82	5,90	7,75	13,20
I3	0,08	0,32	1,26	2,82	5,91	7,74	13,20
Average	0,08	0,32	1,26	2,82	5,92	7,74	13,21

N	7000	8000	9000	10000
I1	17,92	23,48	29,54	36,44
I2	17,94	23,44	29,57	36,46
I3	17,95	23,44	29,58	36,41
Average	17,93	23,45	29,56	36,44

Как видно из табл. 2 и рис. 6, модифицированный алгоритм Борувки (МАБ) существенно быстрее модифицированного алгоритма Крускала (МАК), но все же недостаточно скор для обработки нужного количества объектов.

Отдельно следует рассмотреть процесс поиска ближайших деревьев в алгоритме Борувки. Во-первых, поиск этих деревьев может происходить для каждого дерева независимо, т.е. параллельно. Во-вторых, для того чтобы найти ближайшее дерево, нужно найти ближайший объект из другого дерева для каждого объекта из исходного дерева, что тоже можно делать параллельно. Таким образом, МАБ обладает очень высоким потенциальным параллелизмом.

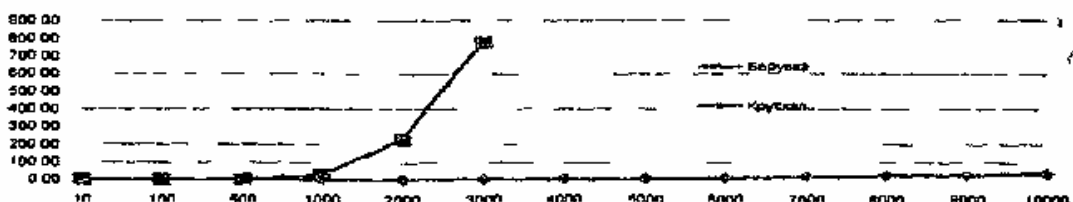


Рис. 6

График зависимости времени выполнения алгоритмов МАК и МАБ.

Предлагается реализация параллельного модифицированного алгоритма Борувки (ПМАБ), для него требуется вычислительная система с общей памятью и как можно большим числом вычислительных узлов. Такими системами являются современные графические ускорители. Алгоритм будет состоять из двух частей, одна из которых выполняется на центральном процессоре, вторая - на видеокарте. Входные данные для алгоритма - массив векторов в n -мерном признаковом пространстве. Предполагается, что между каждой парой векторов существует ребро, поэтому данный массив можно рассматривать как полный неориентированный граф. Следует отметить, что в начале работы алгоритма все векторы представляют собой отдельные деревья, а их количество соответствует количеству векторов.

Самой трудоемкой, в вычислительном плане, операцией будет поиск ребра, соединяющего два ближайших друг к другу дерева. Эта часть вычислительного процесса будет производиться на графическом процессоре, ее сложность составляет $O(V^2)$. Часть алгоритма выполняемого на центральном процессоре будет производить несложную, в вычислительном плане, постобработку результатов, полученных на видеокарте, и ее асимптотическая сложность составляет $O(\log_2 V)$.

Блок схема модифицированного алгоритма представлена на рис. 7 и 8.

Алгоритм был реализован для графических карт производства Nvidia с использованием технологии CUDA.

Эксперименты проводились на ускорителе Tesla C2050, содержащим 448 вычислительных ядер и 2687 Мб оперативной памяти. Оптимизация компилятором была выключена.

Время работы алгоритма на GPU приведено в табл. 3.

ЦИФРОВАЯ ОБРАБОТКА ИЗОБРАЖЕНИЙ

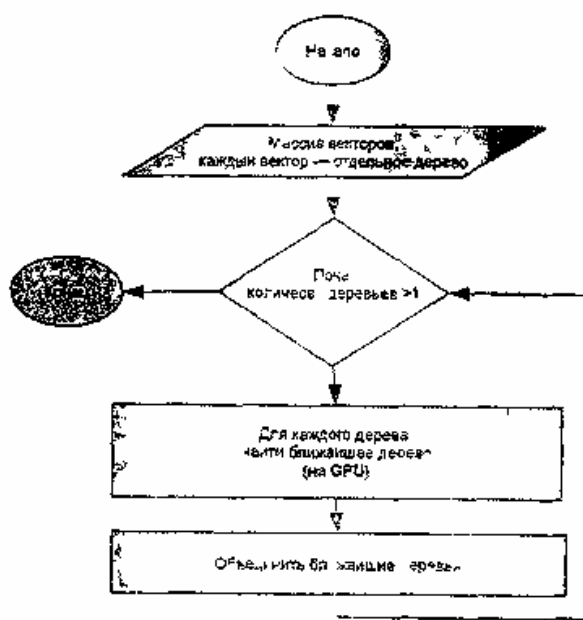


Рис 7

Блок схема части ПМАБ выполняющейся на центральном процессоре

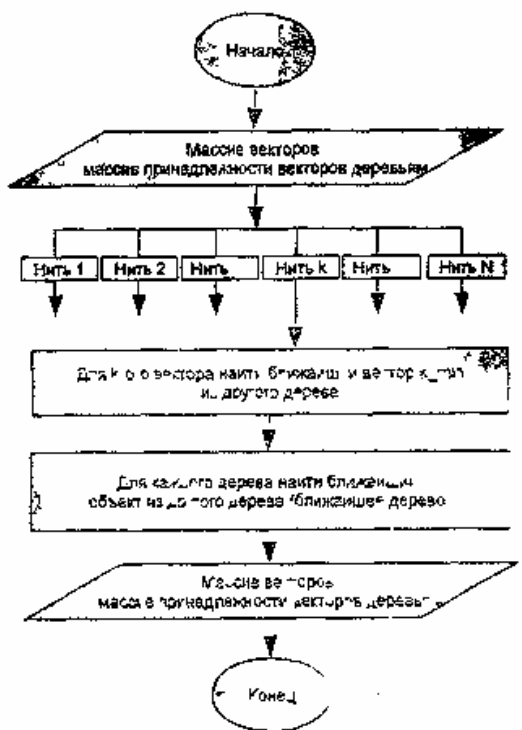


Рис 8

Блок схема части ПМАБ выполняющейся на графическом ускорителе

ЦИФРОВАЯ ОБРАБОТКА ИЗОБРАЖЕНИЙ

Таблица 3

Зависимость времени работы ПМАБ от количества объектов

N	2000	3000	4000	5000	6000	7000
I1	0,05	0,11	0,15	0,24	0,33	0,50
I2	0,05	0,11	0,15	0,24	0,38	0,45
I3	0,05	0,11	0,16	0,24	0,38	0,45
Average	0,0	0,1	0,2	0,2	0,4	0,5
N	20000	30000	40000	50000	60000	70000
I1	4,21	11,93	17,36	27,54	39,57	60,19
I2	4,21	11,93	17,35	27,56	39,58	60,20
I3	4,21	11,93	17,37	27,55	39,62	54,52
Average	4,2	11,9	17,4	27,5	39,6	58,3
	8000	9000	10000			
I1	0,59	0,84	0,92			
I2	0,66	0,84	0,92			
I3	0,59	0,84	0,92			
Average	0,6	0,8	0,9			
N	80000	90000	100000			
I1	79,15	100,87	113,20			
I2	79,17	91,48	113,18			
I3	79,12	100,91	113,16			
Average	79,1	97,8	113,2			

Как видно из табл. 3 построение минимального евклидова дерева средствами GPU позволяет получить хорошие временные показатели. Более того, при применении оптимизации работы с памятью видеокарты можно получить лучшие временные показатели (табл. 4) Результаты, представленные в табл. 4, демонстрируют возможность практически моментальной обработки на GPU до 100000 объектов, что является весьма неплохим показателем. На рис. 9 приведен график ускорения ПМАБ при использовании оптимизации по памяти. По оси абсцисс отложено количество объектов, по оси ординат - количество раз, в которое оптимизированный алгоритм быстрее

ЦИФРОВАЯ ОБРАБОТКА ИЗОБРАЖЕНИЙ

Таблица 4

Зависимость времени работы оптимизированного ПМАБ
от количества объектов

N	2000	3000	4000	5000	6000	7000	8000	9000	10000
I1	0,02	0,04	0,04	0,05	0,06	0,06	0,08	0,09	0,10
I2	0,02	0,04	0,04	0,05	0,05	0,06	0,07	0,10	0,10
I3	0,02	0,03	0,04	0,06	0,05	0,06	0,08	0,09	0,10
Avarage	0,02	0,03	0,04	0,05	0,06	0,06	0,08	0,09	0,10

N	20000	30000	40000	50000	60000	70000	80000	90000
I1	0,30	0,72	0,87	1,40	2,07	2,42	3,29	4,77
I2	0,30	0,65	0,87	1,25	2,07	2,42	3,29	4,77
I3	0,30	0,72	0,87	1,40	2,07	2,42	3,29	4,77
Avarage	0,30	0,70	0,87	1,35	2,07	2,42	3,29	4,77

N	100000	200000	300000	400000	500000	600000	700000	800000	1000000
I1	5,41	24,38	48,57	85,14	372,64	525,47			
I2	6,00	22,19	48,58	76,69	372,65	630,00			
I3	6,00	22,19	48,58	85,14	372,65	525,47			
Avarage	5,80	22,92	48,57	82,32	372,65	560,31			

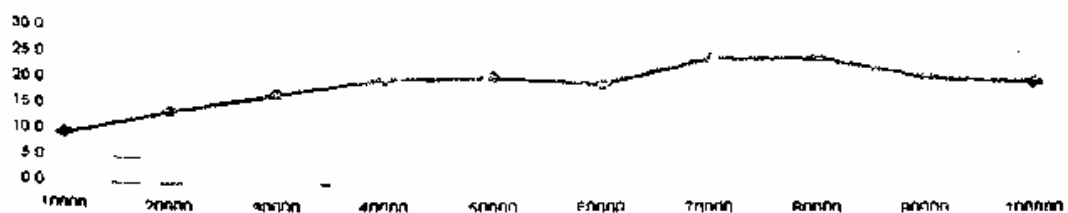


Рис. 9

График зависимости ускорения оптимизированного ПМАБ по сравнению с неоптимизированным, от количества объектов.

Еще более интересным выглядит сравнение ПМАБ с МАБ.

ЦИФРОВАЯ ОБРАБОТКА ИЗОБРАЖЕНИЙ

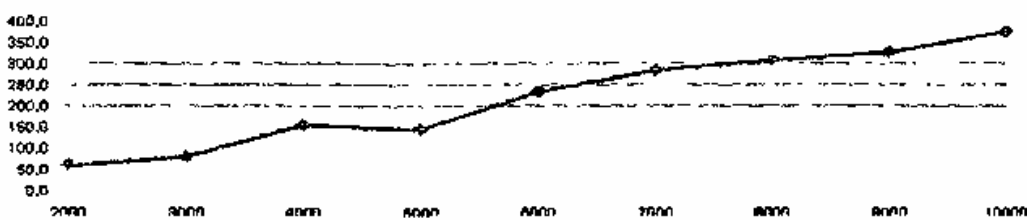


Рис. 10

График зависимости ускорения ПМАБ и МАБ от количества объектов

Как видно из графиков ПМАБ быстрее МАБ в сотни раз. Сравнение с МАК не проводилось по причине крайне низкой скорости работы последнего. Еще большего ускорения можно достичь за счет учета особенностей задачи поиска минимального евклидова дерева (за счет учета особенностей евклидова пространства). Применение описанного алгоритма позволяет увеличить количество обрабатываемых данных на порядки, что приводит не только к количественному, но и к качественному изменению получаемых результатов. Более того, использование GPU для вычислений является крайне эффективным в массово параллельных задачах, как с точки зрения скорости вычислений, так и с позиции энергоэффективности.

Литература

1. Жиляков Е.Г., Барсук А.А. О компьютерной реализации автоматической вариационной классификации объектов на спутниковых фотографиях земной поверхности. – "Вопросы радиоэлектроники", 2010, вып. 1, с. 166-171.
2. Кормен Т.Х. Лейзерсон Ч.И., Ривест Р.Л., Штайн К. Алгоритмы: построение и анализ. 2-е изд. М., Изд. дом "Вильяме", 2005. 1296 с.
3. Седжвик Р. Фундаментальные алгоритмы на С++. Алгоритмы на графах: Пер. с англ. СПб., ООО «ДиаСофтЮП», 2002 496 с.
4. Форсайт Д.А., Понс Ж. Компьютерное зрение. Современный подход: Пер. с англ. М., Изд. дом «Вильямс», 2004. 928 с:с илл.

Работа выполнена при поддержке ФЦП «Научные и научно-педагогические кадры для инновационной России» на 2009-2013 гг., гос. контракт № 14.740.11.0390.

Статья поступила 09.12.2011